

# Projeto e Análise de Algoritmos

## Trabalho Prático 1 - Paradigmas

Vagner Clementino<sup>1</sup>

<sup>1</sup>Departamento de Ciência da Computação  
Universidade Federal de Minas Gerais (UFMG)

vagnercs@dcc.ufmg.br

### 1. Introdução

Apesar da crença, um cérebro maior não indica maior inteligência. Um contraexemplo bastante conhecido é Albert Einstein, cujo cérebro possuía um volume que não era maior do que o da média dos indivíduos. Com a melhoria das imagens de ressonância magnética (IRM), diversos estudos vêm sendo proposto com o objetivo de correlacionar o *volume* do cérebro com o *Quociente de Inteligência* (QI). Um estudo utilizando imagens concluiu que a correlação entre QI e o volume do cérebro é consistente, todavia, as correlações são fracas, e não há como comprovar uma relação direta. Em síntese: ser um “*cabeção*” não é indicativo de inteligência.

A fim de refutar de vez esta crença, este trabalho se propõem em analisar os dados de *peso* e *QI* de um determinada população, com o objetivo de encontrar o maior número de pessoas cujo o peso do seu cérebro é menor, contudo, com um QI maior. O problema será formalmente definido na Seção 2.

Este documento está estruturado como segue. A Seção 2 define formalmente o problema, fazendo uma relação do mesmo com o problema da *Longest increasing subsequence*; a Seção 3 apresenta as três soluções propostas para resolver o problema: FORÇA BRUTA (subseção 3.1), GULOSA (subseção 3.2) e PROGRAMAÇÃO DINÂMICA (subseção 3.3); a Seção 4 faz uma discussão sobre resultados os experimentais de cada solução; a Seção 5 conclui o trabalho.

### 2. Definição Formal do Problema

O problema pode ser definido formalmente da seguinte forma. Dados  $C = \langle c_1, c_2, \dots, c_n \rangle$  um conjunto de indivíduos de tamanho  $n$ , bem como  $P = \langle p_1, p_2, \dots, p_n \rangle$  e  $Q = \langle q_1, q_2, \dots, q_n \rangle$ , onde  $p_i$  e  $q_i$  representa, respectivamente, o peso e o QI do  $i$ -ésimo indivíduo. O problema consiste em encontrar o subconjunto  $S \subseteq C$  tal que para todo  $s_i, s_j \in S$  onde  $i < j$   $p_i < p_j$  e  $q_i > q_j$ . Além disso,  $|S|$  deve ser *máximo*.

O problema proposto neste trabalho pode ser facilmente mapeado para um bem conhecido problema de otimização denominado *Longest Increasing Subsequence* - LIS [Knuth 2013]. Para tanto, basta ordenar um dos conjuntos  $P$  ou  $Q$  de forma crescente ou decrescente. Por exemplo, caso o conjunto  $P$  seja ordenado de forma decrescente, o problema se transforma em encontrar a maior LIS no novo conjunto  $Q'$  que foi gerado pela ordenação de  $P$ .<sup>1</sup>

---

<sup>1</sup>Considera-se que para toda posição  $i$  em  $P$  e  $Q$  represente os dados do mesmo indivíduo

O LIS é um problema bastante estudado e existem diversas abordagens na literatura para resolvê-lo. Este trabalho utilizou algumas destas referências para desenvolver as soluções propostas na Seção 3.

### 3. Soluções propostas

Neste trabalho foi proposto três soluções para o problema utilizando os paradigmas FORÇA BRUTA, GULOSA e PROGRAMAÇÃO DINÂMICA. Para cada paradigma discute-se como foi realizada a modelagem, o funcionamento do algoritmo proposto e a análise da complexidade de tempo e de espaço. A descrição dos algoritmos será feita em mais alto nível por meio de pseudocódigo.

#### 3.1. Força Bruta

##### 3.1.1. Modelagem

O paradigma de Força Bruta é o único que garantidamente encontra uma solução ótima para qualquer problema computável. Contudo, o preço que se paga por esta aplicabilidade universal é o alto custo de tempo e/ou espaço necessário. A principal característica de uma abordagem Força Bruta é que ela faz uma *busca integral no espaço de soluções* [Kleinberg and Tardos 2005]. Neste sentido, ao desenvolvermos um algoritmo força bruta, ele deverá listar todas as possíveis soluções para posteriormente definir a melhor entre as soluções válidas.

No contexto do problema estudado, o espaço de soluções consiste de todas as permutações dos elementos do *power set* de  $C$ , cuja a notação é dada por  $2^C$ . Desta forma, o algoritmo a ser proposto deverá ser capaz de criar cada permutação de tamanho  $1, 2, \dots, n$ . Para cada permutação/solução criada deverá ser verificado se a solução é válida a fim de encontrar a melhor entre aquelas que são válidas. Na próxima subseção descreveremos o algoritmo proposto.

##### 3.1.2. O Algoritmo Força Bruta

O algoritmo 1 apresenta em alto nível a abordagem Força Bruta utilizada. Por meio do método GENERATE-ALL-SOLUTIONS todas as possíveis soluções são geradas. A partir delas a solução ótima (de maior tamanho) é encontrada e posteriormente retornada  $S_{best}$ . O método IS-VALID verifica se uma dada solução é válida verificando se cada par de item respeita as restrições do problema.

##### 3.1.3. Análise de Complexidade

Conforme exposto anteriormente, na abordagem de Força Bruta é realizada uma busca em cada item do espaço de soluções do problema. Na subseção 3.1.1 discutiu-se que este espaço de solução  $O(2^n)$ . Neste contexto, o método responsável por varrer o espaço de soluções necessariamente terá sua complexidade igual  $O(2^n)$ . No algoritmo 1 este trabalho é realizado pelo método GENERATE-ALL-SOLUTIONS. Como as demais funções do algoritmo possuem complexidade inferiores, podemos concluir

---

**Algorithm 1:** BRUTE-FORCE encontra a solução ótima listando todas elas.

---

**Input:** As sequências finitas  $C = \langle c_1, c_2, \dots, c_n \rangle$ ,  $P = \langle p_1, p_2, \dots, p_n \rangle$  e  $Q = \langle q_1, q_2, \dots, q_n \rangle$

**Output:** Uma sequência  $S_{best} \subseteq C$  tal que atende as restrições do problema e seja máxima

```

1  $U \leftarrow \text{GENERATE-ALL-SOLUTIONS}(C)$ 
2  $max \leftarrow 0$ 
3  $S_{best} \leftarrow \emptyset$ 
4 for each  $S$  in  $U$  do
5   if  $\text{IS-VALID}(S)$  then
6     if  $S.\text{legth}() > max$  then
7        $max \leftarrow S.\text{legth}()$ 
8        $S_{best} \leftarrow S$ 
9 return  $S_{best}$ 

```

---

que o algoritmo de força bruta proposto possui ordem de complexidade de tempo igual a  $O(2^n)$ .

No tocante a complexidade de espaço, o algoritmo necessita carregar os conjuntos  $C$ ,  $P$  e  $Q$  a fim de poder gerar todas as soluções e verificar se elas são válidas. Apesar de no pior caso existir  $O(2^n)$  possíveis soluções, o sistema apenas armazena a melhor solução encontrada no momento. Partindo desta estratégia teremos um custo de espaço igual a  $O(1)$ . Neste sentido, o algoritmo tem uma complexidade de espaço igual a  $O(n)$ .

### 3.2. Uma abordagem Gulosa

Apesar do algoritmo de força bruta resolver o problema, conforme poderá ser observado na Seção 4 onde descreve a análise experimental dos algoritmos, tal abordagem torna-se impraticável quando o tamanho da entrada cresce. Com o objetivo de encontrar uma solução de melhor desempenho, esta seção descreve uma solução baseada no paradigma *Guloso*.

#### 3.2.1. Modelagem

Um problema é passível de ser resolvido utilizando a abordagem Gulosa caso ele possua a propriedade da *subestrutura ótima*. Um problema é dito ter subestrutura ótima se uma solução ótima pode ser construído de forma eficiente a partir de soluções ótimas de seus subproblemas [Cormen et al. 2009]. Vamos provar que o problema em questão possui subestrutura ótima.

Iniciemos, sem perda de generalidade, ordenando o conjunto de entrada  $C$  de forma decrescente pelo seu conjunto de pesos  $P$ . Conforme exposto na Seção 2 ao realizarmos a ordenação da entrada conforme proposto, o problema transforma-se em encontrar uma *LIS* no novo conjunto de QI's  $Q'$  gerado.

Seja  $S_{ij}$  a maior LIS entre os elementos  $i$  e  $j$  do conjunto  $Q'$ , conforme descrito no parágrafo anterior, tal que  $1 \leq i \leq (n-1)$  e  $i < j$ . Desta forma,  $S_{1n}$  é a solução ótima para o problema. Suponha que escolhamos um valor  $k$  qualquer de modo que  $i \leq k < j$ . As soluções  $S_{ik}$  e  $S_{(K+1)j}$  são ótimas o que pode ser provado por absurdo. Suponha sem perda de generalidade que exista uma solução  $S'_{ik}$  tal  $|S'_{ik}| > |S_{ik}|$ , a existência de  $S'_{ik}$  vai contra a suposição de que  $S_{ij}$  seja ótima.

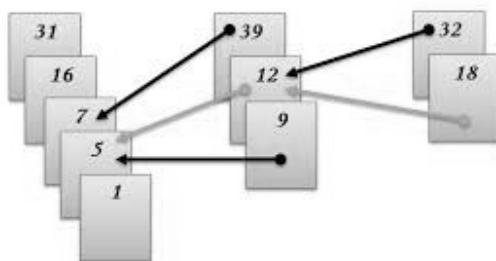
Após provado que o problema apresenta subestrutura ótima já é possível propor um algoritmo guloso para o problema. A solução proposta é detalhada na subseção 3.2.2.

### 3.2.2. O Algoritmo Guloso

O *Patience Sorting* é um algoritmo de ordenação baseado no jogo de cartas de mesmo nome. O funcionamento básico do jogo é descrito a seguir:

1. Inicialmente, não há pilhas. A primeira carta formará uma nova pilha de tamanho 1.
2. A cada nova carta retirada do baralho, caso ela seja menor que alguma carta no topo de qualquer uma das pilhas disponíveis, a carta será colocada no topo da pilha; caso contrário uma nova pilha será criada.
3. Quando não há mais cartas no baralho, o jogo termina.

A Figura 1 exibe o resultado da aplicação do Patience Sorting em um conjunto de números. Conforme pode ser observado ao final do algoritmo cada pilha terá uma *sequência decrescente*. Utilizando esta propriedade do algoritmo foi realizada uma versão modificada do algoritmo para resolver o problema proposto neste trabalho. Basicamente realiza-se a ordenação do conjunto  $P$  de forma crescente; a partir do novo conjunto  $Q'$  resultante aplica-se uma versão gulosa do Patience Sorting de que modo que ao final a maior pilha gerada será a solução do problema. O Algoritmo apresenta de forma genérica a solução proposta.



**Figura 1. O resultado da aplicação Patience Sorting**

Conforme exposto o algoritmo 2 é uma modificação gulosa do Patience Sorting. A parte gulosa do algoritmo está no método **GREEDY-CHOICE** ( $c_i, q_i$ ) que consiste basicamente em buscar a pilha cujo elemento no topo seja maior do que  $q_i$ . Caso exista mais de uma pilha candidata será *retornada aquela cujo o elemento no topo seja o maior*.

---

**Algorithm 2: GREEDY ENCONTRA A SOLUÇÃO DE FORMA GULOSA.**

---

**Input:** As sequências finitas  $C = \langle c_1, c_2, \dots, c_n \rangle$ ,  $P = \langle p_1, p_2, \dots, p_n \rangle$  e

$Q = \langle q_1, q_2, \dots, q_n \rangle$

**Output:** Uma sequência  $S_{best} \subseteq C$  tal que atende as restrições do problema e seja máxima

```
1 INITIALIZE o conjunto de  $n$  pilhas  $S_1, S_2, \dots, S_n$ 
2 SORT ( $C$ ) // Ordenando pelos pesos
3  $maxLength \leftarrow 0$ 
4  $bestStack \leftarrow 0$ 
5 for  $i$  to  $n$  do
6    $j \leftarrow$  GREEDY-CHOICE ( $c_i, q_i$ )
7   PUSH ( $S_j, c_i$ )
8   if  $|S_j| > maxLength$  then
9      $maxLength \leftarrow |S_j|$ 
10     $bestStack \leftarrow j$ 
11 return  $S_{bestStack}$ 
```

---

Não obstante, cabe um questionamento se a solução gulosa aqui proposta leva à solução ótima. Seja  $G$  uma solução de tamanho  $k$  obtida utilizando o algoritmo guloso ora proposto. Se  $G$  não for ótima, existe uma solução  $\mathcal{O}$  de tamanho  $m$  tal que  $m > k$ . Suponha ainda, sem perda de generalidade, que em ambas as soluções houve a ordenação dos pesos, cabendo analisar apenas a maior lista decrescente de QI's. Como  $m > k$  temos que existe um cérebro  $o_{j+1}$  em  $\mathcal{O}$  tal que é menor do que o cérebro  $g_j$  em  $G^2$ . Contudo, o algoritmo 2 realiza a interação sobre *todos* os cérebros e ao final sempre retorna a *maior pilha*. Logo, não é possível existir uma sequência decrescente maior do que  $G$ , logo a solução é ótima.

### 3.2.3. Análise de Complexidade

Como pode ser observado no Algoritmo 2, a solução gulosa proposta faz uma iteração sobre todos os elementos de entrada. Para cada entrada ele faz uma chamada para o método GREEDY-CHOICE ( $c_i, q_i$ ). Este método realiza uma *busca sequencial* para encontrar a pilha no qual o item será inserido, desta forma a complexidade do GREEDY-CHOICE é  $O(n)$ . Tendo em vista que o método é chamando  $n$  vezes podemos concluir que a complexidade do algoritmo guloso é  $O(n^2)$ . Cabe ressaltar que existe a possibilidade de melhoria do algoritmo proposto ao implementar o método GREEDY-CHOICE através de busca binária. Neste caso o algoritmo teria a complexidade de  $O(n \log n)$ .

No que tange ao espaço utilizado o algoritmo necessitará armazenar os conjuntos  $C$ ,  $P$  e  $Q$ . Além disso, no pior caso, será necessário criar um total de  $n$  pilhas. Todavia, mesmo no pior caso, a ordem de complexidade de espaço será  $O(n)$ , ou seja, proporcional ao tamanho da entrada.

---

<sup>2</sup>O índice  $j$  representa a posição do cérebro na solução

### 3.3. Programação Dinâmica

A *Programação Dinâmica* é aplicável em problemas de otimização que apresentem as seguintes características: (i) *subestrutura ótima* e (ii) *sobreposição de subproblemas*. A subestrutura ótima do problema foi provado na subseção 3.2.1. Provaremos na próxima subseção que existe sobreposição entre os subproblemas.

#### 3.3.1. Sobreposição de Subproblemas

De forma análoga as outras soluções propostas neste trabalho, iniciemos que a entrada foi ordenada pelos pesos de forma crescente. Neste sentido, o problema se resume em encontrar uma *LIS* para o novo conjunto  $Q'$  de QI's gerado. Seja  $LIS(i)$  a maior subsequência crescente que termina no elemento  $i$  do conjunto  $Q'$ .  $L(i)$  pode ser definido recursivamente conforme Equação 1.

$$LIS(x) = \begin{cases} 1 + MAX(LIS(j)) & \text{onde } j < i \text{ e } q_j < q_i \\ 1 & \text{caso contrário} \end{cases} \quad (1)$$

Para encontrarmos uma *LIS* em um conjunto de tamanho  $n$  devemos encontrar o  $MAX(L(1), L(2), \dots, L(n))$ . A figura 2 apresenta a árvore de recursão para o cálculo da *LIS* para a entrada  $A = \langle 1, 2, 3, 4 \rangle$ . Como pode ser observado existem sobreposições dos subproblemas.

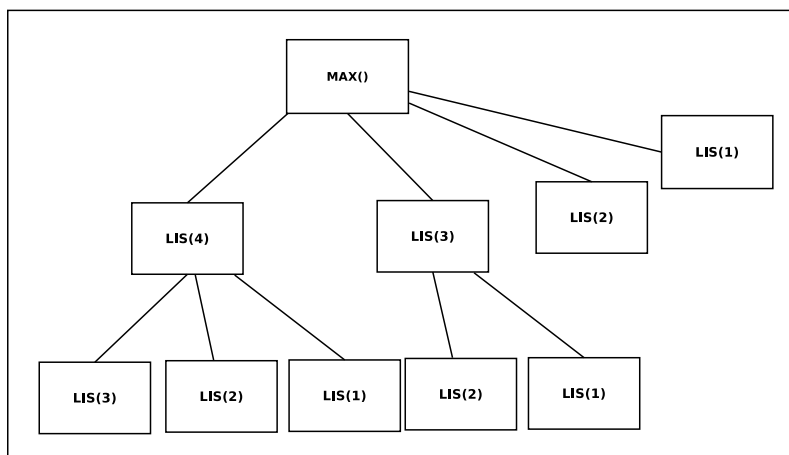


Figura 2. Árvore de recursão do LIS para a entrada  $A$

#### 3.3.2. O Algoritmo de Programação Dinâmica

O algoritmo via Programação Dinâmica proposto utilizou a abordagem de cima para baixo com memoização, ou seja, realiza o cálculo para subproblemas menores de modo que estas soluções sejam aproveitadas por subproblemas maiores. O Algoritmo 3 exibe o código proposto:

O vetor **MEMO** armazena os resultados dos subproblemas a fim de serem utilizados pelos subproblemas menores. Para cada  $i$  é armazenado no vetor **PREV**

---

**Algorithm 3:** PROGRAMAÇÃO DINÂMICA DE CIMA PARA  
BAIXO COM MEMOIZAÇÃO

---

**Input:** As sequências finitas  $C = \langle c_1, c_2, \dots, c_n \rangle$ ,  $P = \langle p_1, p_2, \dots, p_n \rangle$  e  
 $Q = \langle q_1, q_2, \dots, q_n \rangle$  e  $n$  como tamanho da entrada

**Output:** Uma sequência  $S_{best} \subseteq C$  tal que atende as restrições do  
problema e seja máxima

```
1 SORT ( $C$ ) // Ordenando pelos pesos
2  $maxLength \leftarrow 0$ 
3  $bestEnd \leftarrow 0$ 
4 INITIALIZE  $MEMO$  com o valor 0 //  $MEMO$  é vetor que memoria o
   resultado de soluções menores
5 INITIALIZE  $PREV$  com o valor  $-1$  //  $PREV$  armazena os índices da
   melhor solução
6 for  $i \leftarrow 1$  to  $(n - 1)$  do
7     for  $j \leftarrow (i - 1)$  to 0 do
8         if  $q_j < q_i$  and  $MEMO[i] < MEMO[j]$  then
9              $MEMO[i] \leftarrow MEMO[j] + 1$ 
10             $PREV[i] \leftarrow j$ 
11     if  $bestEnd = i$ 
12          $maxLength = memo[i]$ 
13     then  $MEMO[i] > maxLength$ 
14  $S \leftarrow$  BUILD-SOLUTION ( $PREV, n$ )
15 return  $S$ 
```

---

**Tabela 1. Tempo de execução do algoritmo de força bruta**

Tamanho Entrada	Tempo Execução (s)
5	1
9	1620
10	3618
50	7250

os índices das maiores LIS encontrada de modo a solução ser construída através do método BUILD-SOLUTION.

### 3.3.3. Análise da Complexidade

Analisando o pseudocódigo do Algoritmo 3 verificamos que ele possui dois loop aninhados. Dentro do loop mais interno apenas existem operações de complexidade  $O(1)$ . Desta forma, o algoritmo possui complexidade igual a  $O(n^2)$ . No que tange ao espaço utilizado, o algoritmo utiliza de dois vetores para armazenarem os dados de soluções menores e dos índices da LIS. Neste sentido a sua complexidade de espaço é da ordem de  $O(n)$ . O algoritmo poderia ser otimizado em loop interno de modo a encontrar os valores armazenados em  $O(\log(n))$  resultado em uma complexidade igual à  $O(n \log n)$ .

## 4. Análise Experimental

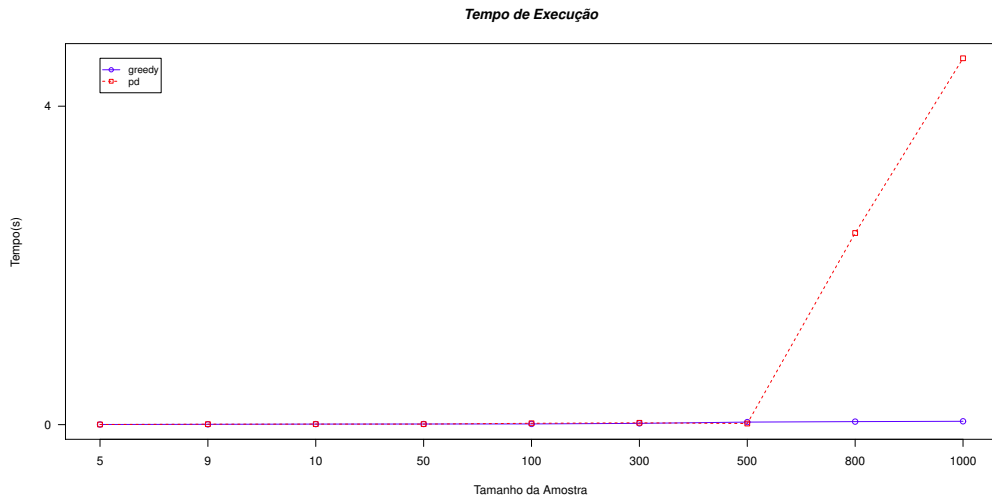
Com o objetivo de verificar a desempenho real das soluções propostas foi realizada uma bateria de testes. Os testes consistem em executar os algoritmos em conjunto de entradas de diferentes tamanhos com a medição dos respectivos tempos de execução. Os testes foram executados em computador com o sistema operacional Ubuntu versão 12.04 kernel 3.13.0-37-generic 64 bits e com 4GB de memória RAM. Os tempos de executam consistem da média de cinco execuções para cada entrada.

A bateria de testes foi executada prioritariamente nos algoritmos guloso e programação dinâmica tendo em vista que para algumas entradas o algoritmo de força bruta não foi possível executar. Os tamanho de entrada para o qual o força bruta executou são exibidos na Tabela 4.

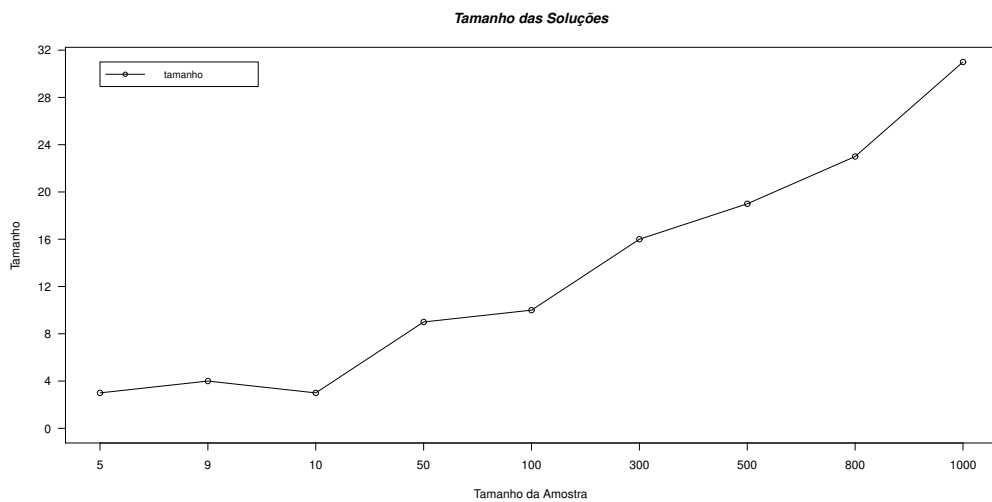
Os tamanhos de entrada (eixo x) e tempo de execução (eixo y) são exibidos na Figura 3. Como pode ser observado o tempo de execução de ambos os algoritmos são similares para entradas menores. Quando o tamanho da entrada cresce verifica-se que o algoritmo guloso é mais eficiente. Esta diferença pode ser devido ao fato do algoritmo guloso executar em média um número menor de operações que seu concorrente.

A figura 4 exibe o tamanho da solução encontrada para uma determinada entrada. Naturalmente o numero de elementos da solução é proporcional ao tamanho da entrada, todavia, é possível verificar que é cada mais difícil encontrar indivíduos que atendam aos requisitos do problema. Por exemplo para uma entrada de tamanho 50, existem 18% de indivíduos que atendem ao requisito do problema, todavia, para uma entrada de tamanho 1000 o percentual cai para 3%.





**Figura 3. Tempos de execução Greedy vs PG**



**Figura 4. Tempos de execução Greedy vs PG**

## 5. Conclusões

Este trabalho se propôs a resolver o problema de encontrar o maior número de pessoas em determinada população cujo peso do cérebro seja menor, contudo, apresentando um maior QI. Afim de resolver o problema foram propostos três algoritmos utilizando os paradigmas Força Bruta, Guloso e Programação Dinâmica. O algoritmo de Força Bruta, apesar de garantidamente retornar a solução ótima, mostrou-se inutilizável quando o tamanho das entradas foram crescendo. Para os paradigmas Guloso e Programação Dinâmica provou-se que o problema atendia aos requisitos de subestrutura ótima e sobreposição de subproblemas (necessário à Programação Dinâmica). Foi possível mostrar que os algoritmos resultam em soluções ótimas. A partir deste trabalho foi possível verificar a aplicação dos diferentes paradigmas de programação em um mesmo problema e como as especificidades de cada paradigma levam as diferentes soluções.

## Referências

- Cormen, T. H., Leiserson, C. E., Rivest, R. L., and Stein, C. (2009). *Introduction to Algorithms, Third Edition*. The MIT Press, 3rd edition.
- Kleinberg, J. and Tardos, E. (2005). *Algorithm Design*. Addison-Wesley Longman Publishing Co., Inc., Boston, MA, USA.
- Knuth, D. (2013). *Art of Computer Programming, Volume 4, Fascicle 4, The: Generating All Trees—History of Combinatorial Generation*. Pearson Education.